

1. まえがき 埋設管の地震時ひずみ算定法について、従来よりいくつかの解析手法<sup>1), 2), 3)</sup>が提案されているが、ここでは埋設管の地震時ひずみを発生させる上で主要な働きをする周辺地盤内の2種類のせん断変形を厳密に考慮した管ひずみ算定法を示すとともに、既存の耐震設計基準・指針<sup>2)</sup>用いられる動的バネ定数について再検討した。さらに、軸方向すべり発生時の管ひずみ低減効果を評価する新しい算定式を提案するとともに、従来式との関係を明らかにした。

2. 解析概要 無限弾性体内に埋設された管路に対して、Fig. 1 に示すように水平方向に伝播する進行波(波数  $k_L$ )が入射角  $\phi$  で入射する場合について考察する。

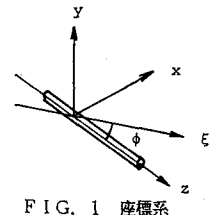


FIG. 1 座標系

$$\text{管路に入射する地震波} \quad v_q^{\infty}(t, z) = V_q(\omega) \exp\{i(k_L z - \omega t)\} \quad (1)$$

$$\text{自然地盤内の地盤変位} \quad \tilde{v}^{\infty} = (v_r^{\infty}, v_{\theta}^{\infty}, v_z^{\infty}) \quad (2)$$

$$\text{埋設管近傍での地盤変位} \quad v^* = \tilde{v}^{\infty} - \tilde{v} \quad (3)$$

とすると、 $\tilde{v}$  は無限遠で零の境界条件を満足する3次元波動解として、次の変位ポテンシャルにより表現できる。

$$\tilde{v} = (\text{grad } \phi + \text{rot } \psi) \exp(-i\omega t) \quad (4)$$

ここで、式(4)のベクトルポテンシャル  $\psi = (0, \psi_\theta, \psi_z)$  は埋設管周辺地盤のせん断変形を規定するものであり、埋設管の軸方向伸び、軸直角方向曲げ変形に関する  $\psi_\theta, \psi_z$  のみを取扱うものとする。

いま、埋設管の軸方向、軸直角方向の変形を次式で定義する。

$$\text{軸方向変形} \quad v_{PA}^*(t, z) = v_q^{\infty} - V_{PA} \exp\{i(k_L z \cos \phi - \omega t)\} \quad (5)$$

$$\text{軸直角方向変形} \quad v_{PB}^*(t, z) = v_q^{\infty} \cos \phi - V_{PB} \exp\{i(k_L z \cos \phi - \omega t)\} \quad (6)$$

一方、埋設管表面での連続条件、管のつりあい式について、鶴間らの方法<sup>2)</sup>に従うと、結局次式で定義するひずみ伝達率が、従来の弾性床上の梁モデルに対する振動解に帰着する形で得られる。

$$\beta_{SA} = \left| \frac{v_{PA}^*}{v_q^{\infty}} \right| = 1 / \left[ 1 + \left\{ 1 - \left( \frac{c_A}{c_A} \right)^2 \right\} \left( \frac{k_L \cos \phi}{\lambda_A} \right)^2 \right] \quad (7)$$

$$\beta_{SB} = \left| \frac{v_{PB}^*}{v_q^{\infty}} \right| = 1 / \left[ 1 + \left\{ 1 - \left( \frac{c_B}{c_B} \right)^2 \right\} \left( \frac{k_L \cos \phi}{\lambda_B} \right)^2 \right] \quad (8)$$

ここで、 $c_A = \sqrt{E/\rho}$ ,  $c_B = \sqrt{EI/(\rho A)}$ ,  $c_a = \omega/(k_L \cos \phi)$ ,  $\lambda_A = \sqrt{K_A/(EA)}$ ,  $\lambda_B = \sqrt{K_B/(EI)}$  ただし、 $\rho$ ,  $E$ ,  $A$ ,  $I$ ,  $K$  はそれぞれ管の密度、ヤング率、断面積、断面2次モーメント、土のせん断弾性定数である。そして、式(7), (8) で  $\lambda_A$ ,  $\lambda_B$  に含まれる動的バネ定数は次式<sup>2)</sup>で与えられる。

$$k_A = \frac{K_A}{\mu} = 2\pi \frac{8_s a}{R_A} \left\{ \frac{H_1^{(0)}(8_s a)}{H_0^{(0)}(8_s a)} + \left( \frac{k_L \cos \phi}{8_s a} \right)^2 \left( \frac{2 \delta p}{8_s} - 1 \right) \right\} \quad (9)$$

ただし、

$$R_A = 1 + \left( \frac{k_L a \cos \phi}{8_s a} \right)^2 \frac{8_s}{8_p} \frac{H_0^{(0)}(8_p a)}{H_1^{(0)}(8_p a)} \quad (10)$$

$$k_B = \frac{K_B}{\mu} = \pi (P_1 + P_2) / \left[ H_1^{(0)}(8_p a) + n a \frac{\partial H_1^{(0)}(8_p r)}{\partial r} \Big|_{r=a} \right] \quad (11)$$

$\therefore \approx 2^\circ$ ,  $\beta_p = \epsilon_L^P k_L \sin \phi$ ,  $\beta_s = \epsilon_L^S k_L \sin \phi$ ,  $\alpha_1 = v_p/v_s$ ,  $\alpha_2 = v_L/v_s$ ,  $\epsilon_L^P = \sqrt{\alpha_2^2 - \alpha_1^2 \cos^2 \phi} / (\alpha_1 \sin \phi)$ ,  $\epsilon_L^S = \sqrt{\alpha_2^2 - \cos^2 \phi} / \sin \phi$ ,  $H_j^{(0)}$  は第  $j$  次のハニケル関数。ただし,  $v_p$ ,  $v_s$ ,  $v_L$  はそれぞれ P 波, S 波, 進行波の伝播速度であり,  $\alpha_1$  は管半径。 $E$ ,  $P_1$ ,  $P_2$ ,  $n$  の具体的な表現については紙面の都合上割愛した。

筆者は、文献 1)においてすべり発生時の埋設管ひずみの低減効果を評価するため係数  $\beta$  を導入し、近似すべりモデルに対する解析解をえた。今回、すべり挙動の厳密解を求めるため、管内方法 3)を用い、 $\beta$  が無視された慣性効果を考慮して係数  $\beta_s$  の解析解を次のように求めた。

$$\beta_s = 1 - \frac{\delta(1+k^2) - \sin \nu_0}{\kappa \sinh(\kappa \nu_0)} \quad (12)$$

$\approx 2^\circ$ ,

$$\begin{aligned} \delta &= \frac{\kappa \cos \nu_0 \tanh(\kappa \nu_0) + \sin \nu_0}{(1+k^2) \{ \kappa (\pi/2 - \nu_0) \tanh(\kappa \nu_0) + 1 \}} \\ \kappa &= \sqrt{k_A / [E + \{1 - (c_a/c_A)^2\}] / (k_L \cos \phi)} \\ \tau_G / \tau_{cr} &= (1 - \beta_s^* \beta_{SA}) / \delta \end{aligned} \quad (13)$$

$$\beta_s^* = (1 + \frac{1}{\kappa^2}) \left\{ \sin \nu_0 - \delta \left[ 1 - \left\{ \frac{\pi^2}{8} + \left( \frac{\nu_0^2}{2} - \frac{\pi}{2} \nu_0 \right) k^2 \right\} \right] \right\} \quad (14)$$

ただし、 $\tau_G$  は埋設管表面に作用するせん断応力、 $\tau_{cr}$  はすべり開始時のせん断応力。

3. 數値計算結果 Fig. 2, 3 はそれぞれ式 (9), (11) の軸的バネ定数  $k_A$ ,  $k_B$  の数値計算結果である。図によると、 $k_L a \leq 10^{-2} 2^\circ$  で  $k_A = 1$ ,  $k_B = 3$  を示し、一方  $k_L a > 10^{-2} 2^\circ$  では軸角の影響が現われ、 $k_A$  の値が 2~3 の大きさになる傾向を示す。このことは、既存の基準 (JWWA) 2) 示唆している  $k_A = k_B = 3$  という値が長い波長域で  $k_A$  に問題过大であることを示している。

Fig. 4 はすべりの低減効果  $\beta_s$  と  $\tau_G / \tau_{cr}$  の関係を示したものである。 $\beta_s$  は  $\beta_s$  に依存し、 $\beta_s$  の増加とともに  $\beta_s$  の値に漸近する傾向を示す。また、文献 1) に与えた  $\beta$  値が  $\beta_s = 0$  の場合に相当する = とかわる。

### 参考文献

- 1) 小池：土木学会論文報告集, 第 331 号, pp. 13-24, 1983
- 2) 鶴飼・山口：土質工学会論文報告集, Vol. 19, No. 4, pp. 93-102, 1979
- 3) 宮内：相模原技術セミナー報告, 第 6 号, 1974

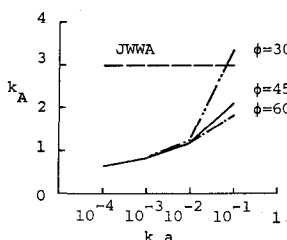


FIG. 2 軸方向動的バネ定数

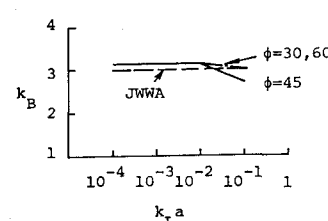


FIG. 3 軸角方向動的バネ定数

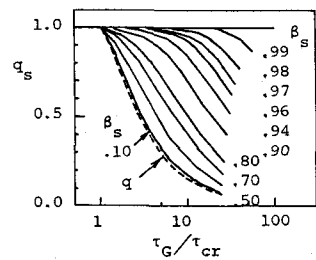


FIG. 4 すべりによる低減効果